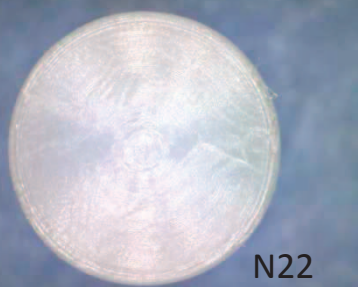
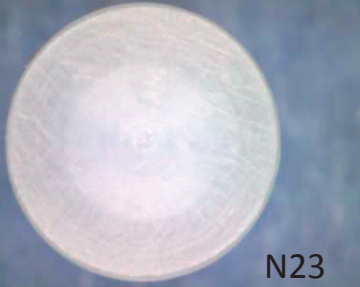


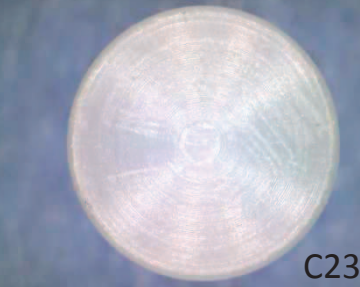
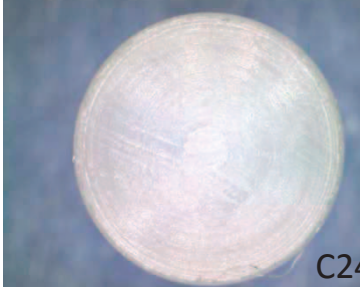



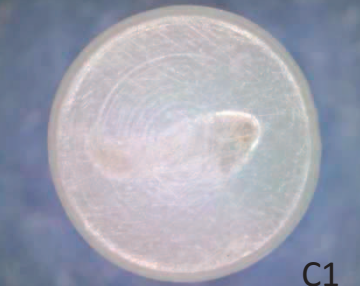


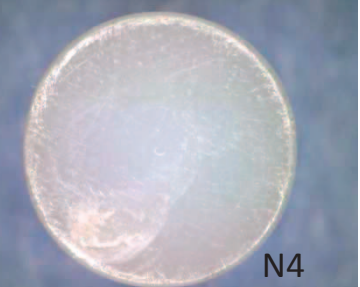
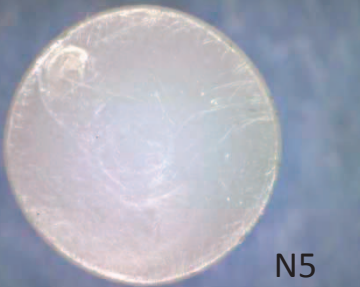
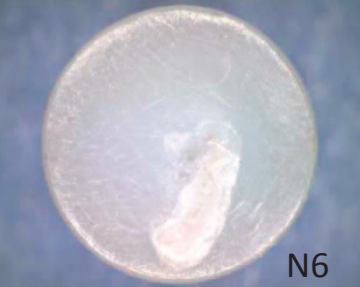
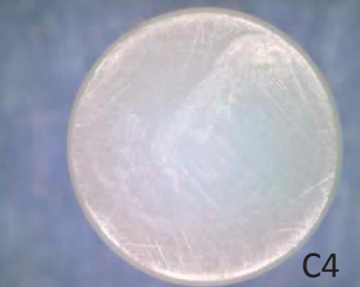
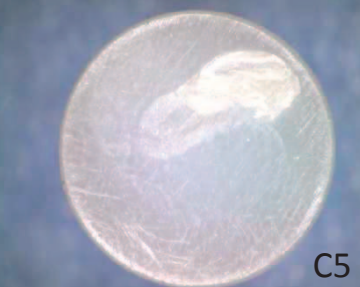

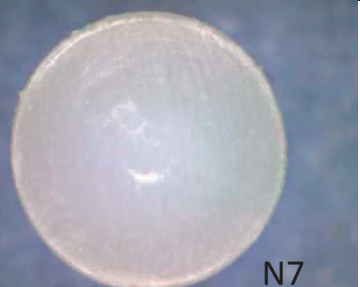
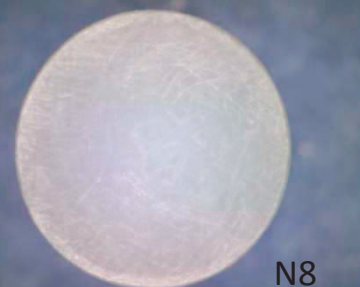
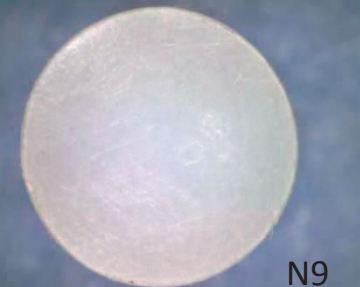
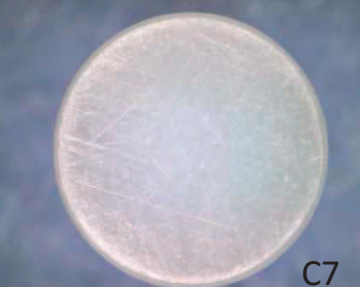
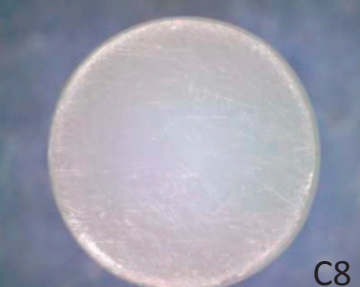
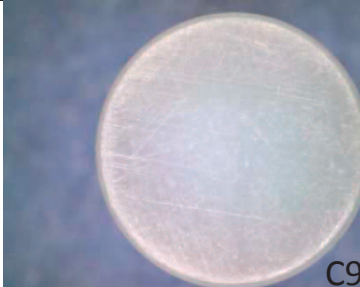
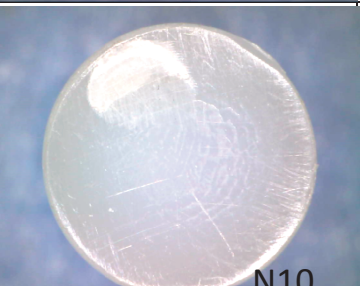







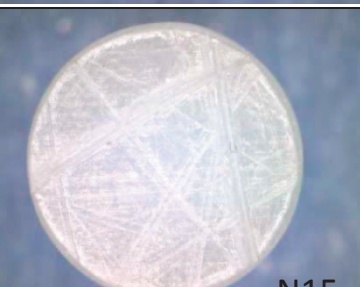



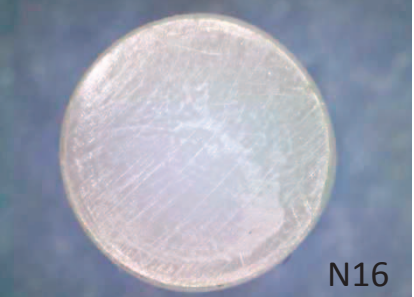
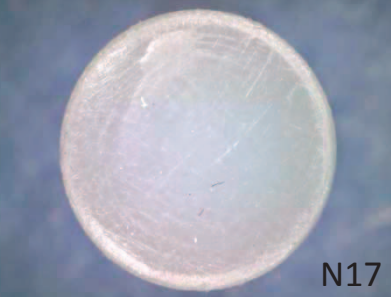
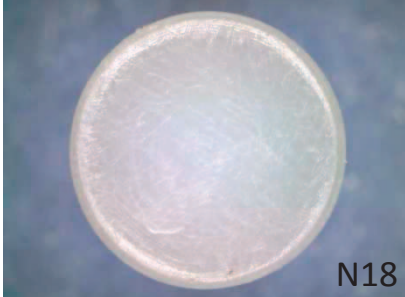
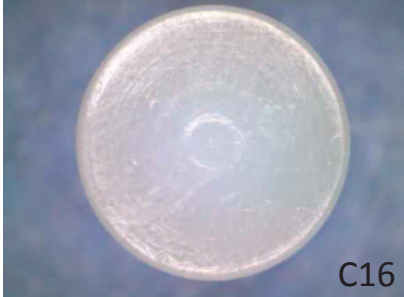
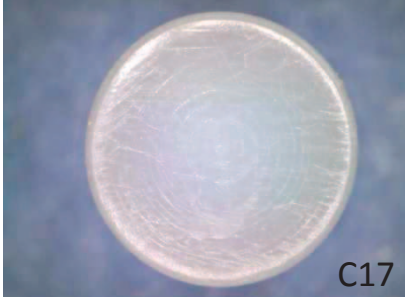
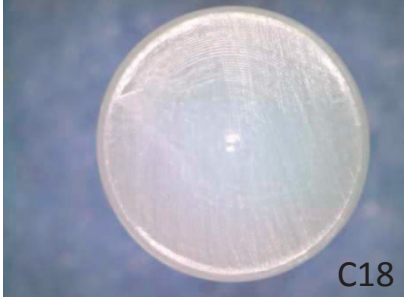
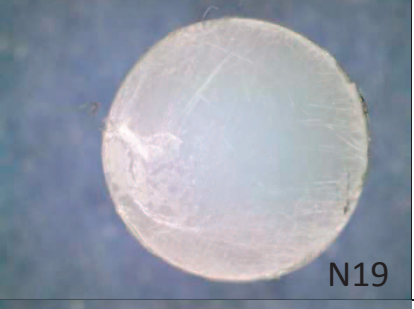
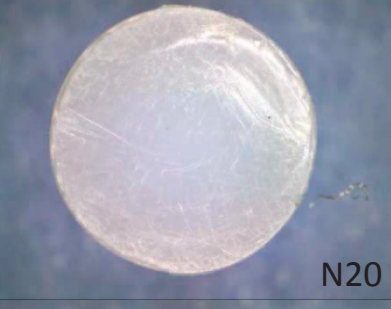
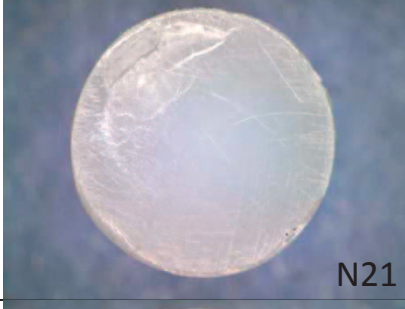


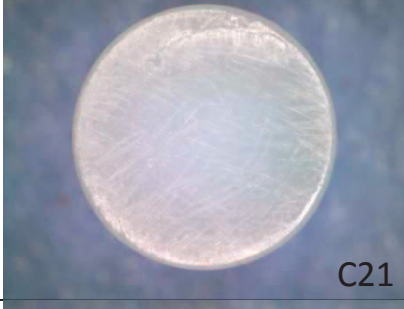
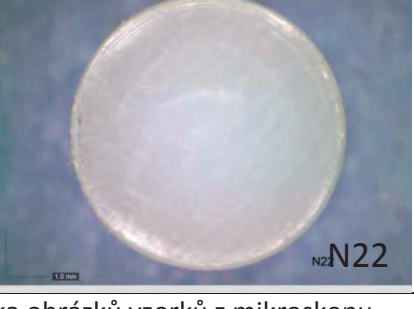







	VÁŽENÍ VZORKŮ								Váhy: KERN ABT 120-5DM								průměrná hmotnost [g]	sm. Odchylka	o	hmotnost po otěru [g]				průměrná hmotnost [g]	sm. Odchylka
	hmotnost před otěrem [g]																								
N1	0.21077	0.21076	0.21079	0.21078					0.21078	1.1E-05		o	0.21074	0.21074	0.21074					0.21074	0				
N2	0.2108	0.21079	0.21081	0.21083	0.21082				0.21081	1.4E-05		o	0.2109	0.21089	0.21088					0.21089	8.2E-06				
N3	0.21145	0.21145	0.21144					0.21145	4.7E-06		o	0.21147	0.21147	0.21147					0.21147	2.8E-17					
C1	0.20851	0.20851	0.20851					0.20851	0		o	0.20858	0.20857	0.20859	0.20859	0.20858	0.20858		0.20858	6.9E-06					
C2	0.20895	0.20895	0.20893	0.20895				0.20895	8.7E-06		o	0.209	0.20899	0.209	0.209				0.20900	4.3E-06					
C3	0.20889	0.20889						0.20889	0		o	0.20896	0.20897	0.20895					0.20896	8.2E-06					
N4	0.20872	0.20871	0.20875	0.20872	0.20874	0.20873	0.20873	0.20873	1.2E-05		o	0.20863	0.20865	0.20863	0.20866	0.20863	0.20865	0.20864	0.20864	1.1E-05					
N5	0.21055	0.21055	0.21054					0.21055	4.7E-06		o	0.21045	0.21046	0.21044	0.21045	0.21045			0.21045	6.3E-06					
N6	0.21078	0.21076	0.21078	0.21078				0.21078	8.7E-06		o	0.21074	0.21074	0.21073	0.21073	0.21072	0.21073	0.21073	0.21074	0.21073	6.6E-06				
C4	0.20879	0.20881	0.2088	0.20879	0.20879			0.20880	8E-06		o	0.20874	0.20875	0.20873	0.20874	0.20874	0.20872	0.20872	0.20874	0.20872	1.1E-05				
C5	0.21043	0.21047	0.21043	0.21044	0.21044			0.21044	1.5E-05		o	0.21042	0.21043	0.21043	0.21044	0.21043	0.21045	0.21044	0.21043	0.21043	8.6E-06				
C6	0.20919	0.20919	0.20919					0.20919	0		o	0.2091	0.20912	0.20911	0.20913	0.20913	0.20912	0.20915	0.20912	0.20912	1.3E-05				
N7	0.21039	0.21038	0.21037	0.21038	0.21038			0.21038	6.3E-06		o	0.20912	0.20912	0.20912	0.20912				0.20912	0					
N8	0.21025	0.21027	0.21027	0.21026	0.21027	0.21029	0.21027	0.21029	1.3E-05		o	0.20872	0.20871	0.20871	0.2087	0.20871			0.20871	6.3E-06					
N9	0.21141	0.21141	0.2114	0.21141	0.21141			0.21141	4E-06		o	0.21	0.20998	0.21	0.21	0.21	0.20999	0.21	0.21000	7.3E-06					
C7	0.20872	0.20871	0.20872	0.20871	0.20871			0.20871	4.9E-06		o	0.20807	0.2081	0.20809	0.20809	0.20808	0.20809		0.20809	9.4E-06					
C8	0.20813	0.20812	0.20813	0.20813				0.20813	4.3E-06		o	0.20753	0.20748	0.20749	0.20749	0.20749	0.20748	0.20749	0.20749	1.6E-05					
C9	0.20856	0.20854	0.20857	0.20855	0.20855	0.20858	0.20857	0.20856	1.3E-05		o	0.20782	0.20782	0.20782	0.20781	0.20782			0.20782	4E-06					
N10	0.21137	0.21135	0.21139	0.21138	0.21138			0.21137	1.4E-05		o	0.20872	0.20869	0.20869	0.20869				0.20870	1.3E-05					
N11	0.21062	0.21062	0.21063					0.21062	4.7E-06		o	0.21129	0.21128	0.2113	0.21132	0.21131			0.21130	1.4E-05					
N12	0.21142	0.21141	0.21142					0.21142	4.7E-06		o	0.20964	0.20966	0.20966					0.20965	9.4E-06					
C10	0.2088	0.20879	0.20879					0.20879	4.7E-06		o	0.21057	0.21056	0.21055					0.21056	8.2E-06					
C11	0.2097	0.20972	0.20972	0.20972				0.20972	8.7E-06		o	0.20818	0.20817	0.20818	0.20818				0.20818	4.3E-06					
C12	0.2082	0.20821	0.20819					0.20820	8.2E-06		o	0.21136	0.21135	0.21135	0.21133	0.21132	0.21134	0.21136	0.21135	1.3E-05					
N13	0.2109	0.21088	0.21088	0.21086	0.21087	0.21086	0.21087	0.21087	1.3E-05		o	0.20917	0.20917	0.20917					0.20917	0					
N14	0.20967	0.20968	0.20967	0.20967				0.20967	4.3E-06		o	0.21011	0.21012	0.2101	0.2101				0.21011	8.3E-06					
N15	0.21047	0.21047	0.21047					0.21047	2.8E-17		o	0.20785	0.20784	0.20783	0.20785				0.20784	8.3E-06					
C13	0.20971	0.20969	0.20969	0.20973	0.20971	0.20971	0.20971	0.20971	1.3E-05		o	0.20905	0.20903	0.20904					0.20904	8.2E-06					
C14	0.20841	0.20842	0.20842	0.20843	0.20843			0.20842	7.5E-06		o	0.2099	0.2099	0.20989					0.20990	4.7E-06					
C15	0.21035	0.21035	0.21035					0.21035	0		o	0.20977	0.20976	0.20977					0.20977	4.7E-06					
N16	0.21071	0.21071	0.21071	0.21073				0.21072	8.7E-06		o	0.20907	0.20907	0.20907					0.20907	0					
N17	0.21118	0.21119	0.21117	0.21118				0.21118	7.1E-06		o	0.21066	0.21066	0.21066					0.21066	0					
N18	0.21125	0.21124	0.21124	0.21124				0.21124	4.3E-06		o	0.20841	0.20845	0.20843	0.20845				0.20844	1.7E-05					
C16	0.20908	0.20908	0.20908					0.20908	2.8E-17		o	0.21117	0.21115	0.21113	0.21113	0.21117	0.21112	0.21113	0.21115	1.8E-05					
C17	0.20847	0.20846	0.20848	0.20847				0.20847	7.1E-06		o	0.20858	0.20856	0.20858	0.20857				0.20857	8.3E-06					
C18	0.2086	0.20861	0.20861					0.20861	4.7E-06		o	0.21118	0.21117	0.21118					0.21118	4.7E-06					
N19	0.2105	0.21053	0.21052	0.2105	0.21051	0.21052	0.21052	0.21051	1.0E-05		o	0.20579	0.2058	0.20581	0.2058	0.20581	0.2058		0.20580	6.9E-06					
N20	0.20996	0.20994	0.20995	0.20996	0.20995			0.20995	7.5E-06		o	0.20548	0.20547	0.20547	0.20547	0.20546	0.20546		0.20547	6.9E-06					
N21	0.20988	0.20988	0.20986	0.20989	0.20989	0.20988		0.20988	1E-05		o	0.20617	0.20617	0.20616	0.20617	0.20617			0.20617	4.0E-06					
C19	0.20975	0.20974	0.20976	0.20975	0.20975			0.20975	6.3E-06		o	0.20887	0.20887	0.20888	0.20887				0.20887	4.3E-06					
C20	0.20901	0.20902	0.20902	0.20903	0.20903	0.20903	0.20901	0.20903	8.3E-06		o	0.20818	0.20818	0.20817	0.20818	0.20818			0.20818	4E-06					
C21	0.20836	0.20838	0.20839	0.20838	0.20837	0.20838		0.20838	9.4E-06		o	0.20751	0.20753	0.2075	0.20751	0.20751	0.20751		0.20751	9.0E-06					
N22	0.21033	0.21032	0.21033	0.21033	0.21034			0.21033	6.3E-06		o	0.21036	0.21036	0.21038	0.21037	0.21037	0.21037		0.21037	6.9E-06					
N23	0.20939	0.20938	0.20939	0.2094	0.20938	0.20939		0.20939	6.9E-06		o	0.20942	0.20941	0.20944	0.20942	0.20943	0.20942		0.20942	9.4E-06					
N24	0.21124	0.21126	0.21126	0.21127	0.21126			0.21126	9.8E-06		o	0.21129	0.21129	0.21128	0.21128	0.21127			0.21128	7.5E-06					
C22	0.20849	0.20849	0.2085	0.2085	0.20849			0.20849	4.9E-06		o	0.20852	0.20852	0.20852	0.20854	0.20852			0.20852	8E-06					
C23	0.21013	0.21016	0.21017	0.21013	0.21016	0.21016		0.21015	1.6E-05		o	0.21017	0.21017	0.21016	0.21018	0.21017	0.21018		0.21017	6.9E-06					
C24	0.20808	0.20804	0.20808	0.20807	0.20807	0.20807		0.20807	1.3E-05		o	0.20814	0.20812	0.20812	0.20812	0.20812			0.20812	8E-06					

	hmotnost [g]:	před	po	Δm	$\Delta m * e^{-5}$	Úbytek hmotnosti vzorků [g*10 ⁻⁵]									
						*e ⁻⁵	průměrná Δm	sm. Odchylka	max	min					
M1 B150_1	N1	0.21077	0.21074	-3E-05	-3	N	2.3	4.496912521	8	-3					
	N2	0.21081	0.21089	8E-05	8						C	6.3	0.942809042	7	5
	N3	0.21145	0.21147	2E-05	2										
	C1	0.20851	0.20858	7E-05	7										
	C2	0.20895	0.209	5E-05	5										
	C3	0.20889	0.20896	7E-05	7										
M2 B150_plan	N4	0.20873	0.20864	-9E-05	-9	N	-8.0	2.160246899	-5	-10					
	N5	0.21055	0.21045	-1E-04	-10						C	-4.7	2.624669291	-1	-7
	N6	0.21078	0.21073	-5E-05	-5										
	C4	0.20879	0.20873	-6E-05	-6										
	C5	0.21044	0.21043	-1E-05	-1										
	C6	0.20919	0.20912	-7E-05	-7										
M3 B180_neplan	N7	0.21038	0.20912	-0.00126	-126	N	-141.3	12.6578917	-126	-157					
	N8	0.21029	0.20872	-0.00157	-157						C	-66.7	5.249338583	-62	-74
	N9	0.21141	0.21	-0.00141	-141										
	C7	0.20871	0.20809	-0.00062	-62										
	C8	0.20813	0.20749	-0.00064	-64										
	C9	0.20856	0.20782	-0.00074	-74										
M4 MT150_neplan	N10	0.21138	0.2113	-8E-05	-8	N	-7	0.816496581	-6	-8					
	N11	0.21062	0.21056	-6E-05	-6						C	-6	3.265986324	-2	-10
	N12	0.21142	0.21135	-7E-05	-7										
	C10	0.20879	0.20869	-0.0001	-10										
	C11	0.20972	0.20966	-6E-05	-6										
	C12	0.2082	0.20818	-2E-05	-2										
M5 B/Si 150_neplan - kotouč při zkoušce praskl	N13	0.21087	0.2101	-0.00077	-77	N	-70	5.715476066	-63	-77					
	N14	0.20967	0.20904	-0.00063	-63						C	-52.3	5.436502143	-45	-58
	N15	0.21047	0.20977	-0.0007	-70										
	C13	0.20971	0.20917	-0.00054	-54										
	C14	0.20842	0.20784	-0.00058	-58										
	C15	0.21035	0.2099	-0.00045	-45										
M6 B/Ti 180_neplan	N16	0.21071	0.21066	-5E-05	-5	N	-5	0.816496581	-4	-6					
	N17	0.21118	0.21114	-4E-05	-4						C	-2.7	1.247219129	-1	-4
	N18	0.21124	0.21118	-6E-05	-6										
	C16	0.20908	0.20907	-1E-05	-1										
	C17	0.20847	0.20844	-3E-05	-3										
	C18	0.20861	0.20857	-4E-05	-4										
M7 MT180_plan	N19	0.21052	0.2058	-0.00472	-472	N	-430.3	43.08389748	-371	-472					
	N20	0.20995	0.20547	-0.00448	-448						C	-86.7	1.247219129	-85	-88
	N21	0.20988	0.20617	-0.00371	-371										
	C19	0.20975	0.20887	-0.00088	-88										
	C20	0.20903	0.20818	-0.00085	-85										
	C21	0.20838	0.20751	-0.00087	-87										
M8 B/Ti 150_plan	N22	0.21033	0.21037	4E-05	4	N	3.7	0.471404521	4	3					
	N23	0.20939	0.20942	3E-05	3						C	3	1.632993162	5	1
	N24	0.21124	0.21128	4E-05	4										
	C22	0.20849	0.20852	3E-05	3										
	C23	0.21016	0.21017	1E-05	1										
	C24	0.20807	0.20812	5E-05	5										

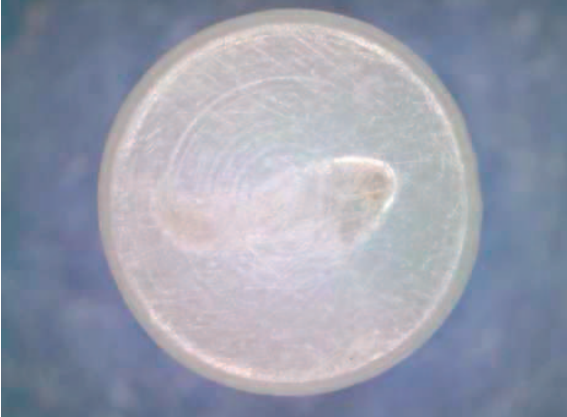
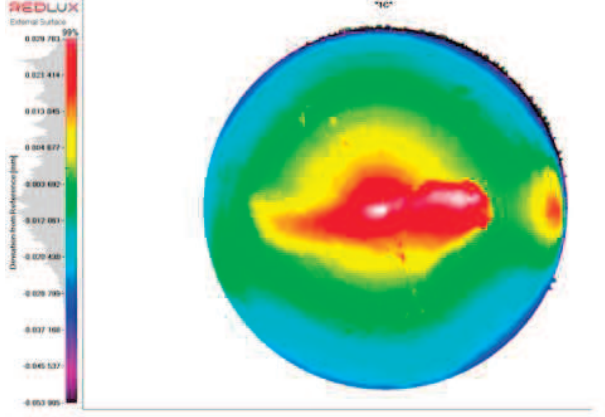

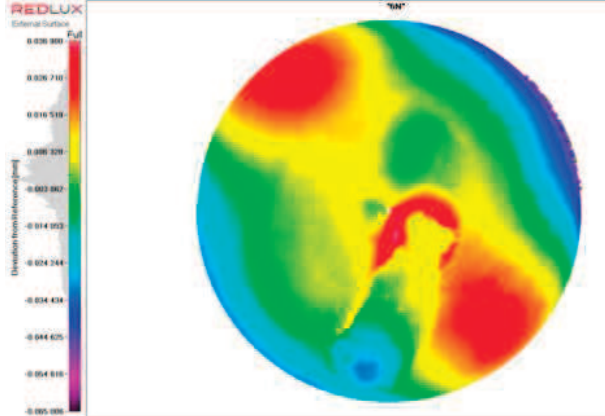

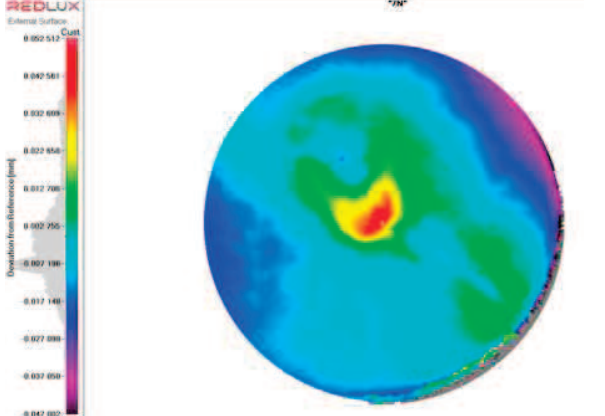

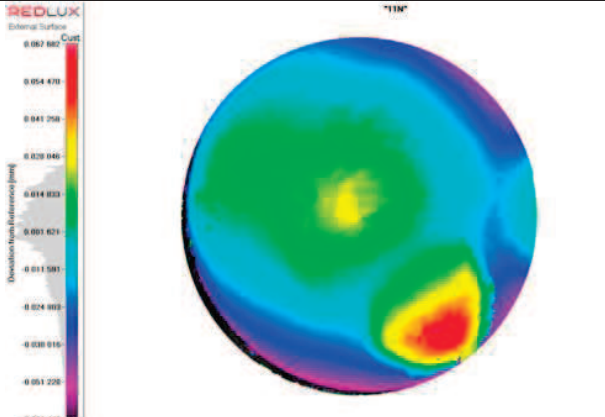
P_Tab6.1.2 Vyhodnocení otěru jednotlivých vzorků

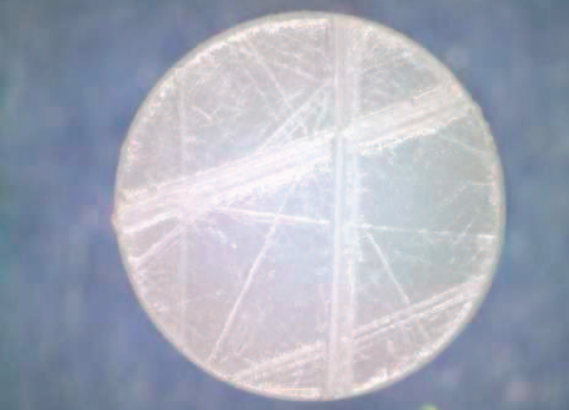

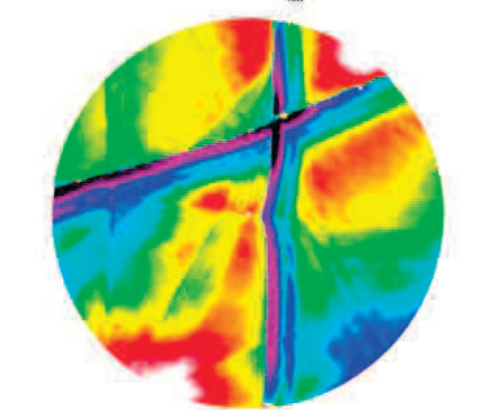
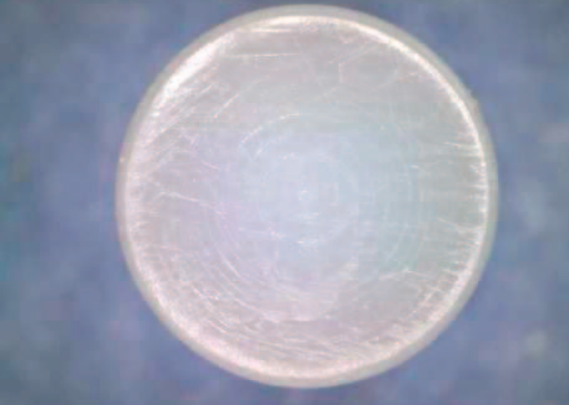
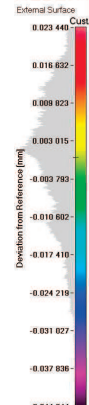
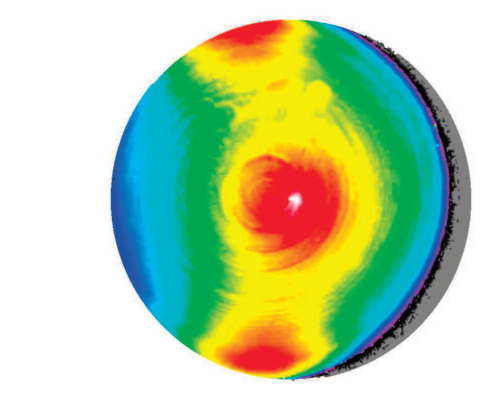
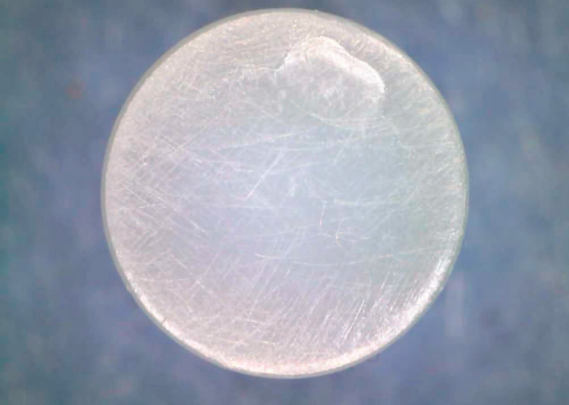
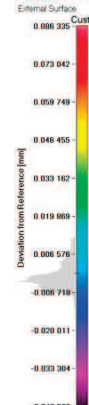
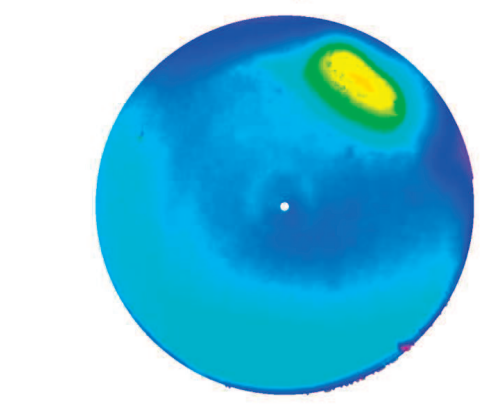
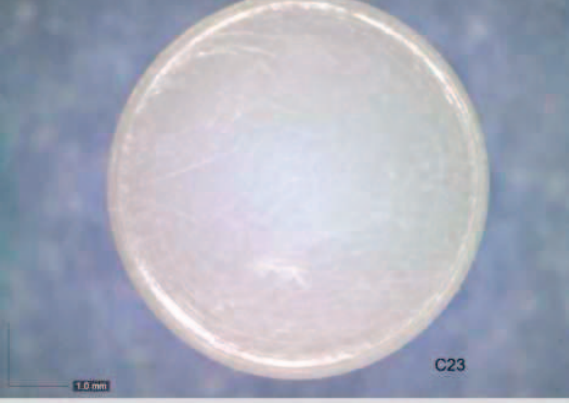
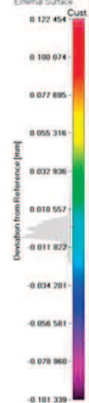
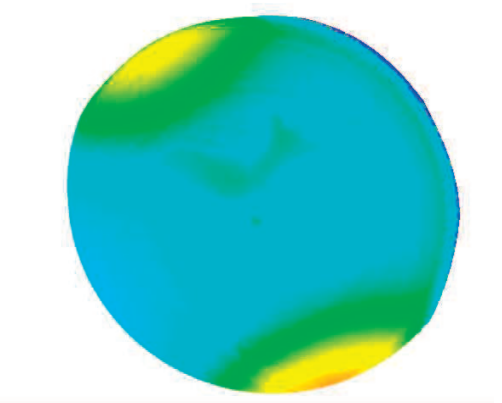
	Necrosslingovaný			Crosslingovaný		
Bez otěru (N22,N23,N24, C22,C23,C24)	 N22	 N23	 N24	 C22	 C23	 C24
M1 - B150_1 (N1,N2,N3, C1,C2,C3)	 N1	 N2	 N3	 C1	 C2	 C3
M2 - B150_plan (N4,N5,N6, C4,C5,C6)	 N4	 N5	 N6	 C4	 C5	 C6
M3 - B180_neplan (N7,N8,N9, C7,C8,C9)	 N7	 N8	 N9	 C7	 C8	 C9
M4 - MT150_neplan (N10,N11,N12, C10,C11,C12)	 N10	 N11	 N12	 C10	 C11	 C12
M5 - B/Si 150_neplan (N13,N14,N15, C13,C14,C15)	 N13	 N14	 N15	 C13	 C14	 C15

M6 - B/Ti 180_neplan (N16,N17,N18, C16,C17,C18)						
M7 - MT 180_plan (N19,N20,N21, C19,C20,C21)						
M8 - B/Ti 150_plan (N22,N23,N24, C22,C23,C24)						

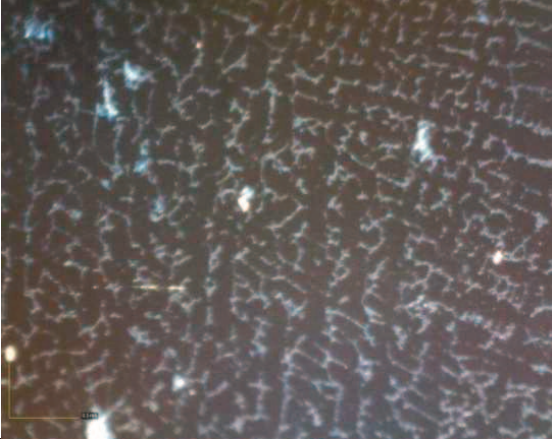
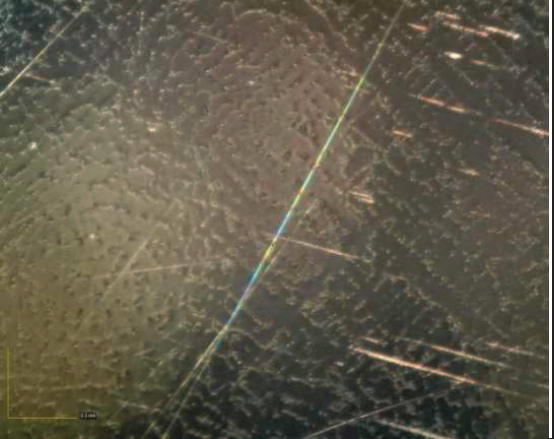
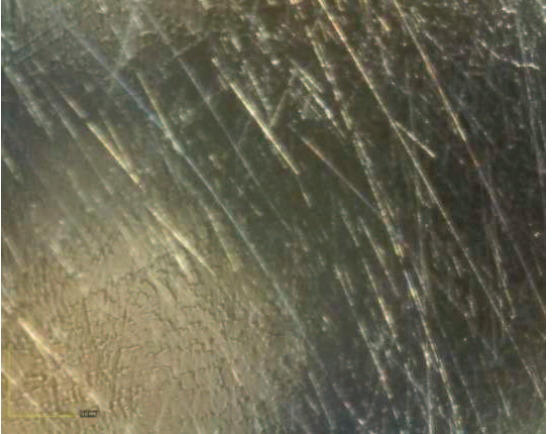


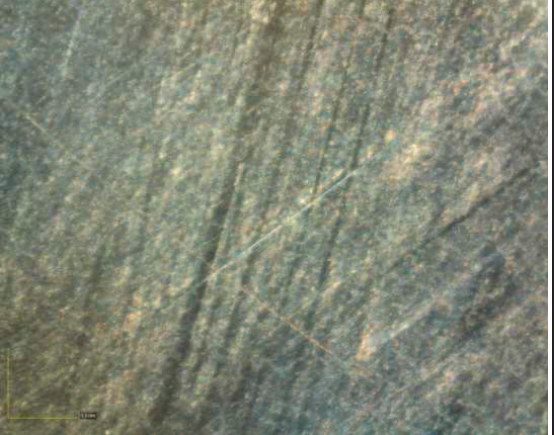


P_Tab5.1.4 Tabulka obrázků vzorků z mikroskopu

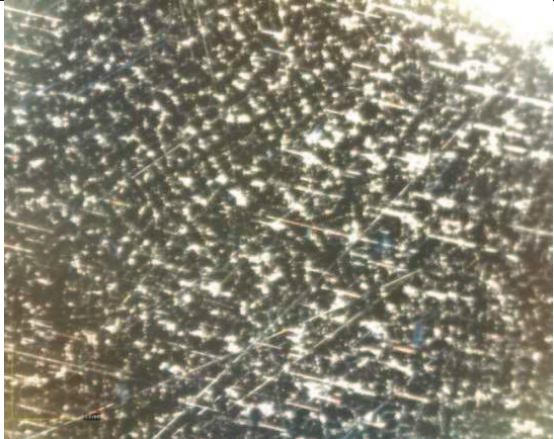

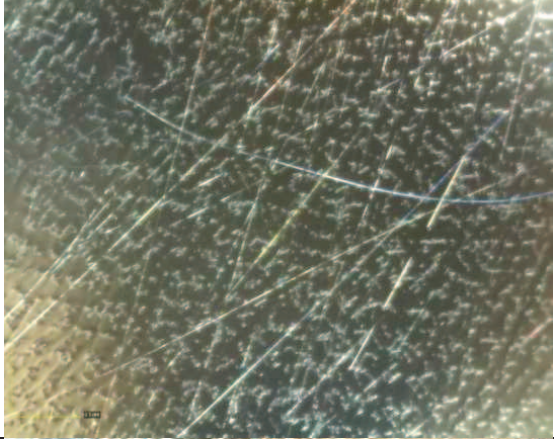
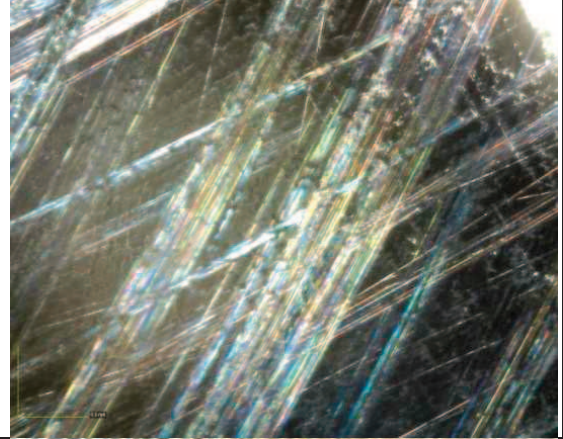


Porovnání pohledu pod mikroskopem a 3D skenu povrchu pro vybraný vzorek z každého měření

<p>M1 - B150_1</p> <p>C1</p>		
<p>M2 - B150_pla n</p> <p>N6</p>		
<p>M3 - B180_ne plan</p> <p>N7</p>		
<p>M4 - MT150_n eplan</p> <p>N11</p>		

<p>M5 - B/Si 150_nepl an</p> <p>N13</p>			
<p>M6 - B/Ti 180_nepl an</p> <p>N17</p>			
<p>M7 - MT180_p lan</p> <p>C19</p>			
<p>M8 - B/Ti 150_plan</p> <p>C23</p>			

P_Tab5.1.5 Porovnání pohledu pod mikroskopem a 3D skenu povrchu pro vybraný vzorek z každého měření

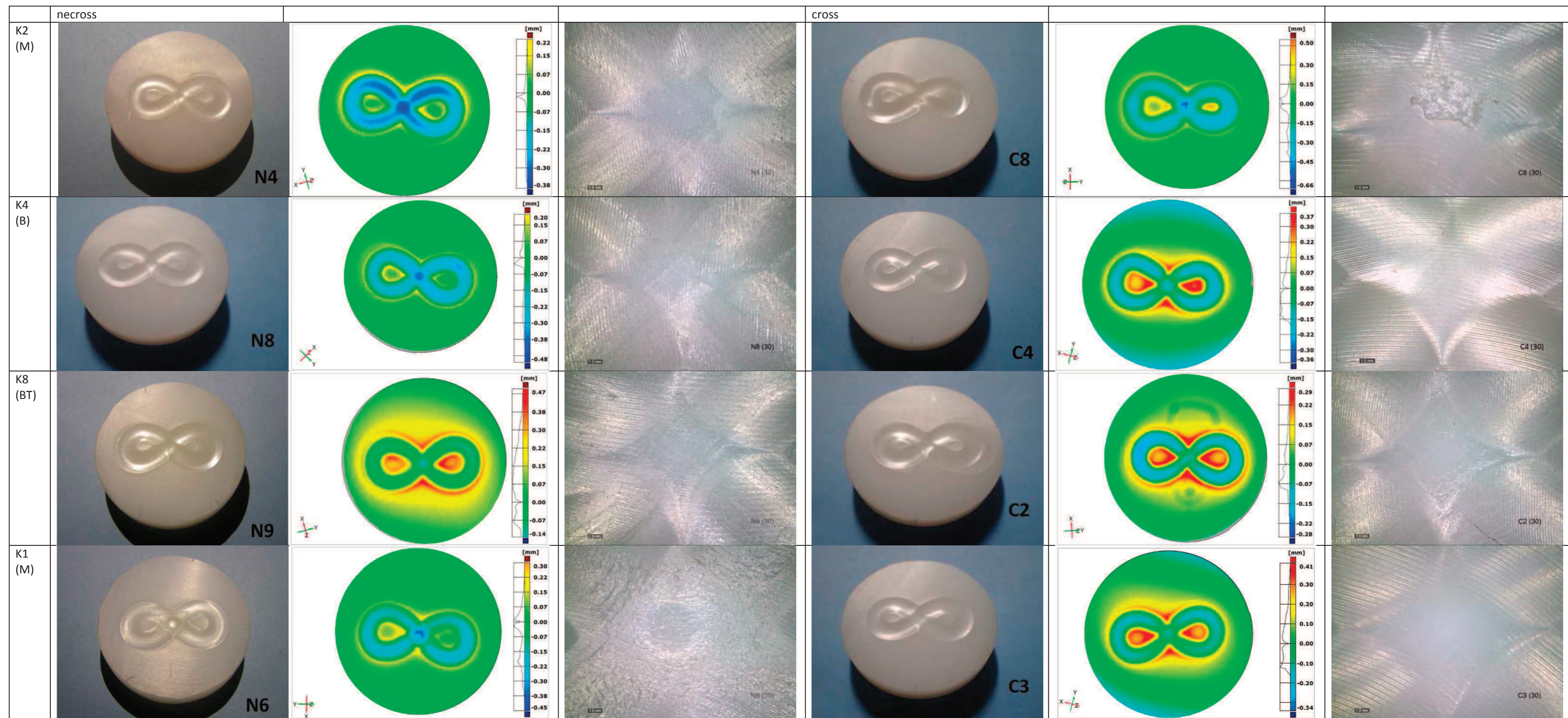
	neotřené	otřené
M2 - B150_plan		
M3 - B180_neplan		
M4 - MT150_neplan		
M5 - B/Si 150_neplan		

<p>M6 - B/Ti 180_neplan</p>		
<p>M7 - MT180_plan</p>		
<p>M8 - B/Ti 150_plan</p>		


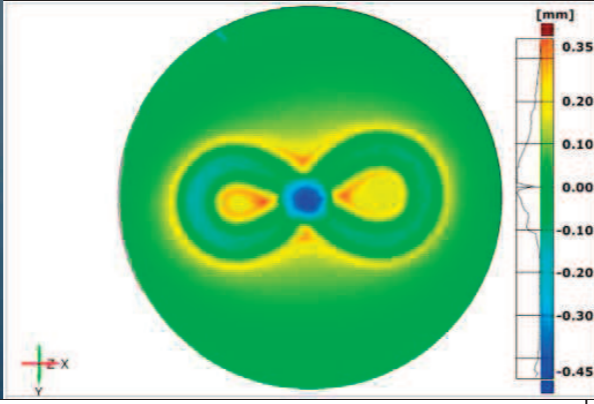
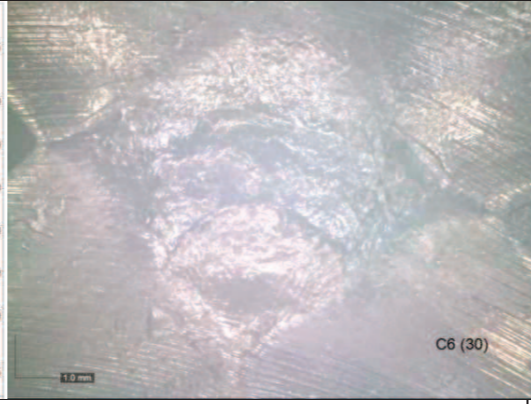

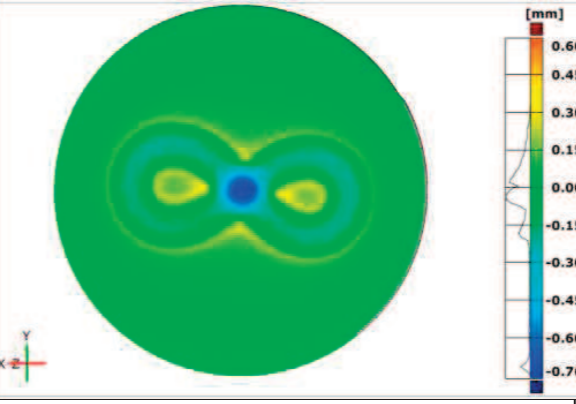


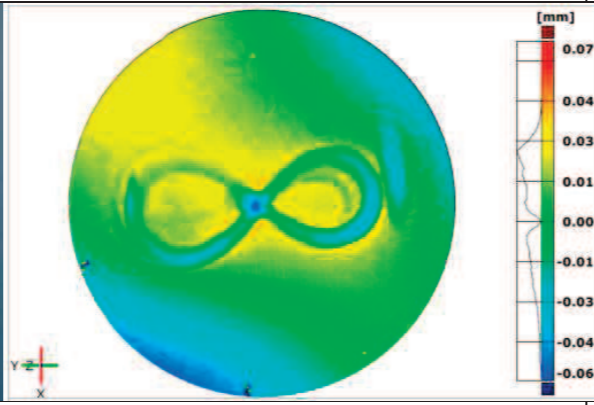


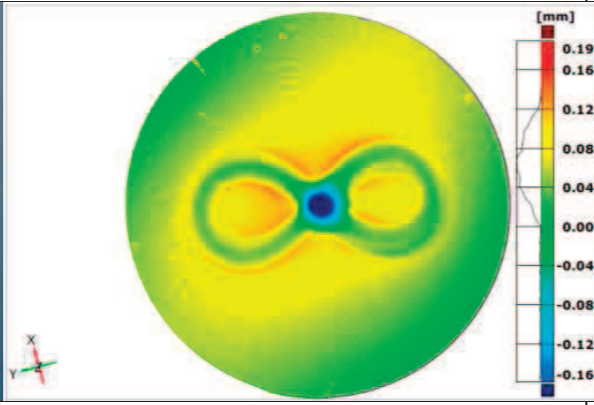
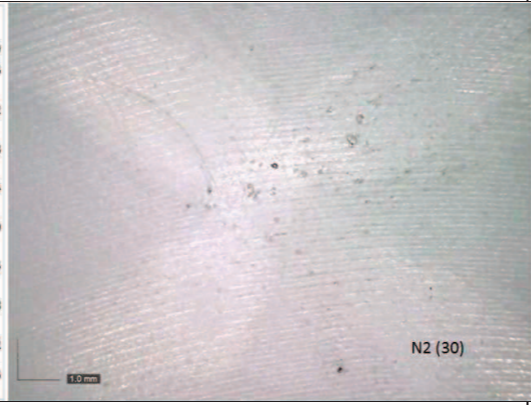

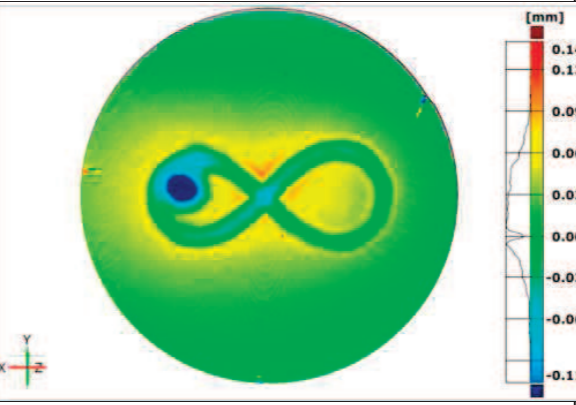
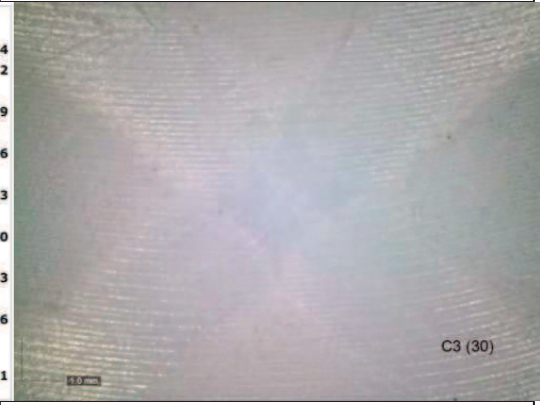

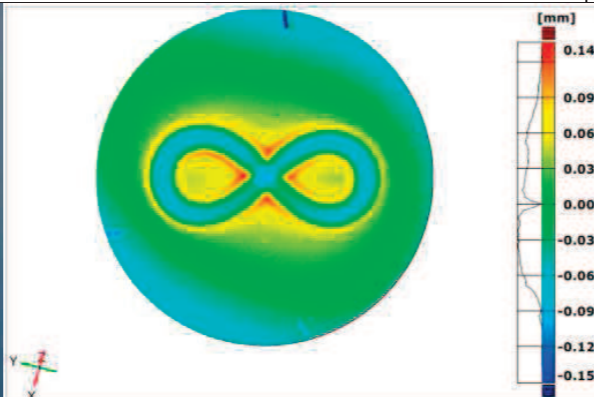
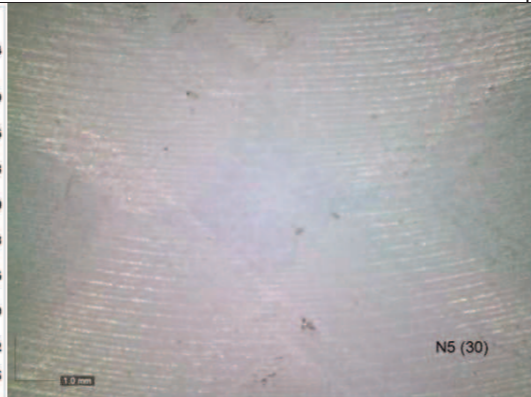

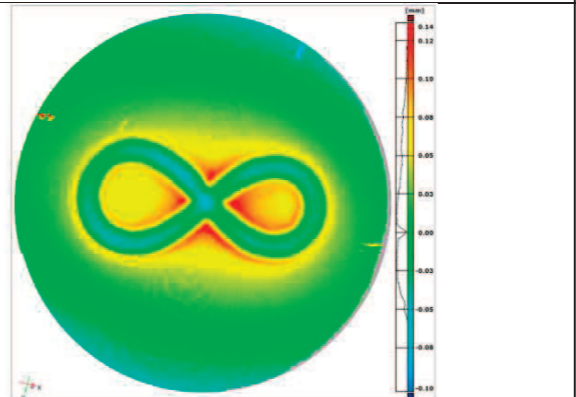

P_Tab5.1.6 Porovnání povrchu disků před a po otření pod mikroskopem

Vyhodnocení otěru					m otěr [g*10-5]			datum		
měření	vzorek	kuželka	přítlak [N]	mazivo	kulička	jamka	stůl	začátk	konec	cyklů
M0	N1	-	100	A	-	390	s4	-	-	-
M1	N2	K4	100	A	-70	220	s3	14.9.2015	21.9.2015	532295
M2	N3	K10	100	A	-40	330	s4	14.9.2015	21.9.2015	532296
M3	N5	K2	213	A	-50	100	s3	22.9.2015	29.9.2015	532296
M4	C1	K8	213	A	-60	250	s4	22.9.2015	29.9.2015	532297
M5	C3	K10	500	A	-10	380	s3	30.9.5015	8.10.2015	532297
M6	C4	K4	500	A	-50	220	s4	30.9.5015	8.10.2015	584885
M7	C6	K8	500	N	-20	-810	s4	8.10.2015	15.10.2015	532298
M8	C7	K2	500	N	10	-1660	s3	8.10.2015	15.10.2015	532298
M9	C2	K8	500	A	-20	310	s4	27.10.2015	4.11.2015	532298
M10	C5	K10	50	A	-20	330	s3	27.10.2015	4.11.2015	532298
M14	N10	K3	500	A	-10	-290	s3	16.11.2015	24.11.2015	532298
M15	C8	K2	500	A	-20	-10	s3	25.11.2015	3.12.2015	532298
M16	N8	K4	500	A	0	110	s4	25.11.2015	3.12.2015	532298
M17	C11	K1	500	A	-10	130	s3	4.12.2015	14.12.2015	532298
M18	C10	K9	500	A	-10	250	s4	4.12.2015	14.12.2015	532298
M19	N9	K8	500	A	-10	10	s3	14.12.2015	22.12.2015	532298
M20	N4	K2	500	A	-20	120	s4	14.12.2015	22.12.2015	532298
M21	N6	K10	500	A	-20	-620	s4	22.12.2015	30.12.2015	532298
M22	N7	K7	500	A	0	-80	s3	22.12.2015	30.12.2015	532298
M11	C2	K8	500	A	0	100	s4	9.11.2015	16.11.2015	532298
M12	C5	K10	50	A	-50	150	s3	9.11.2015	16.11.2015	532298
M13	C2	K8	500	A	-10	90	s4	16.11.2015	24.11.2015	532298


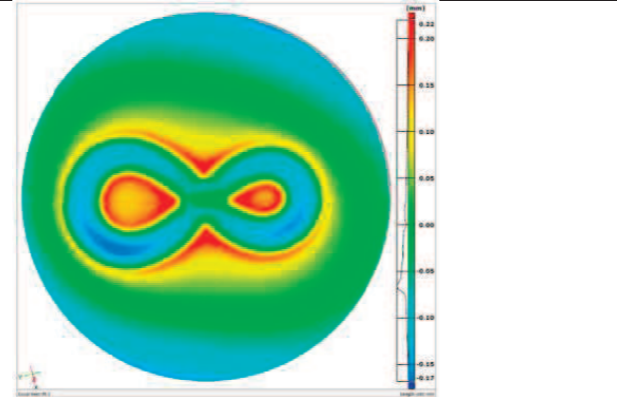


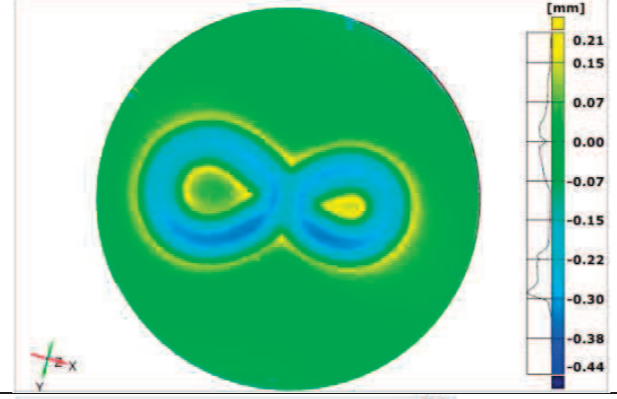
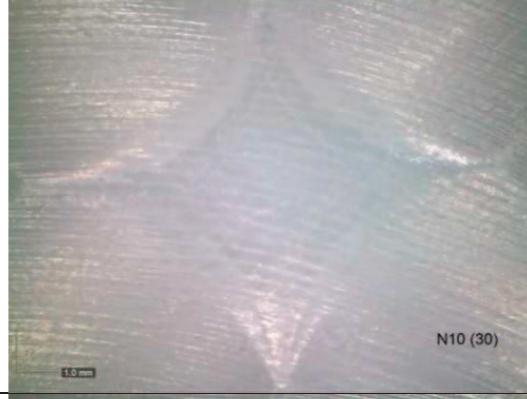

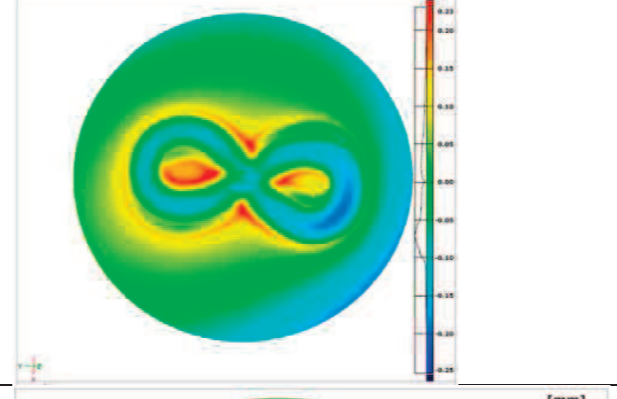


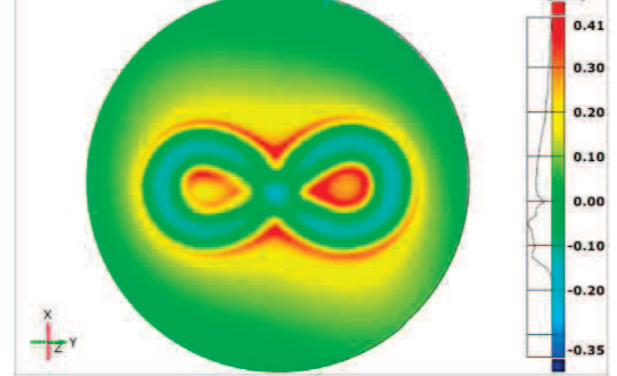
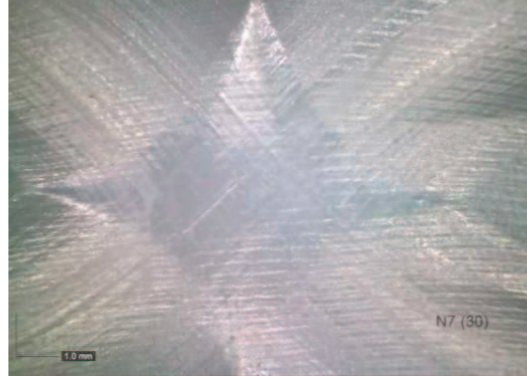
P_Tab6.2.1. Výsledy z měření



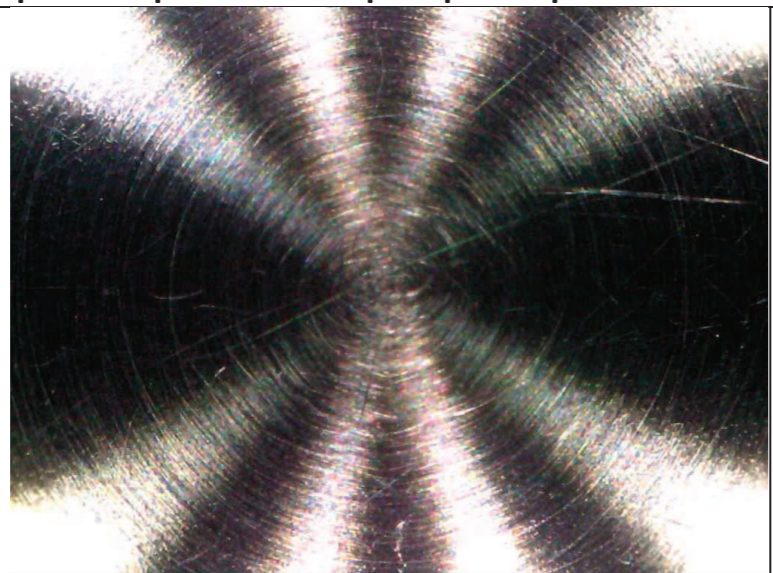

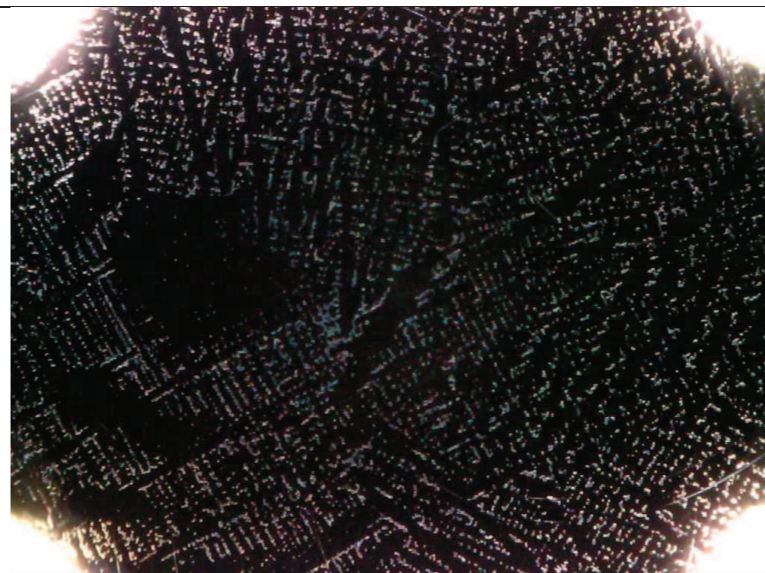
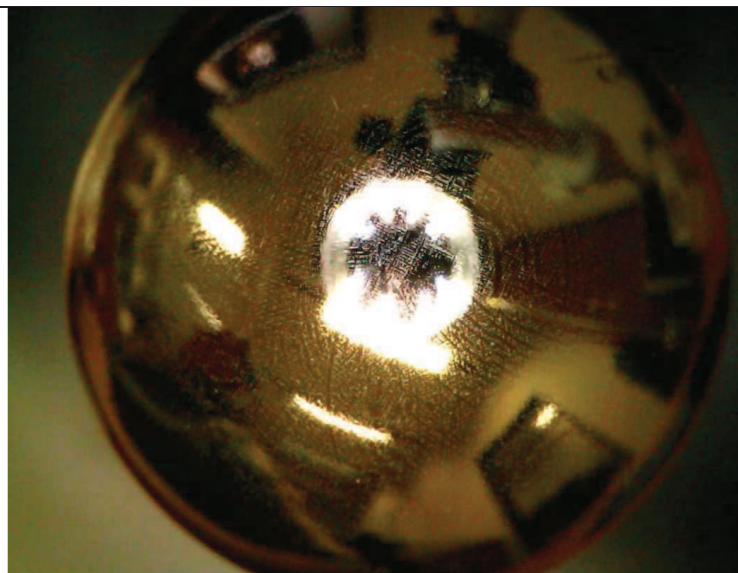
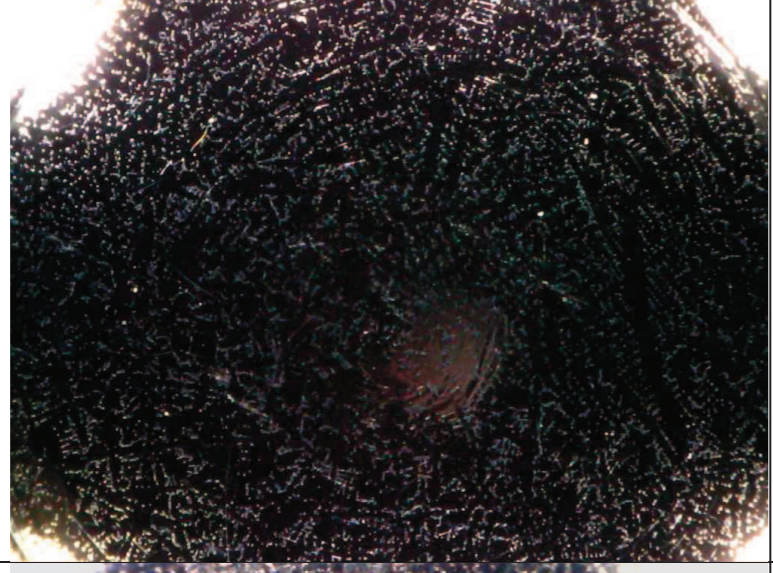
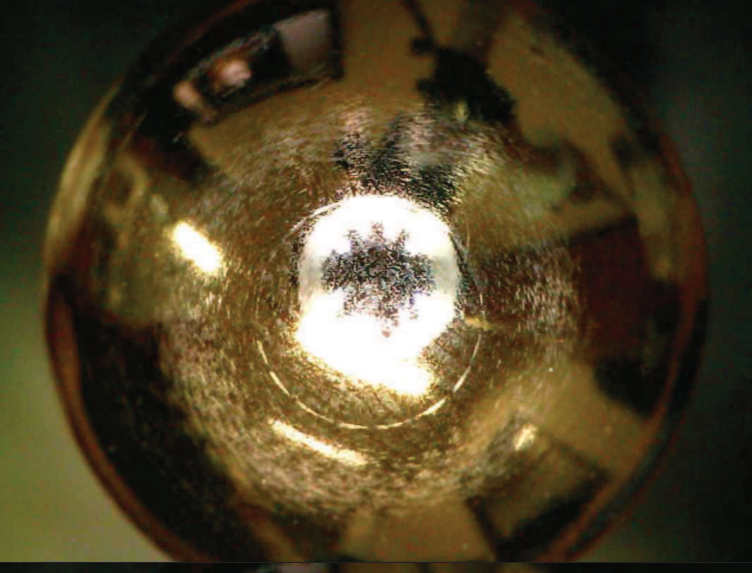

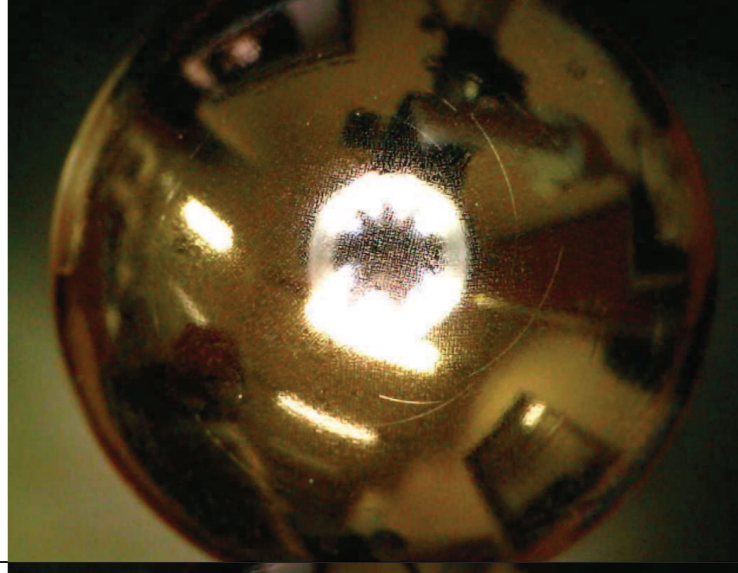
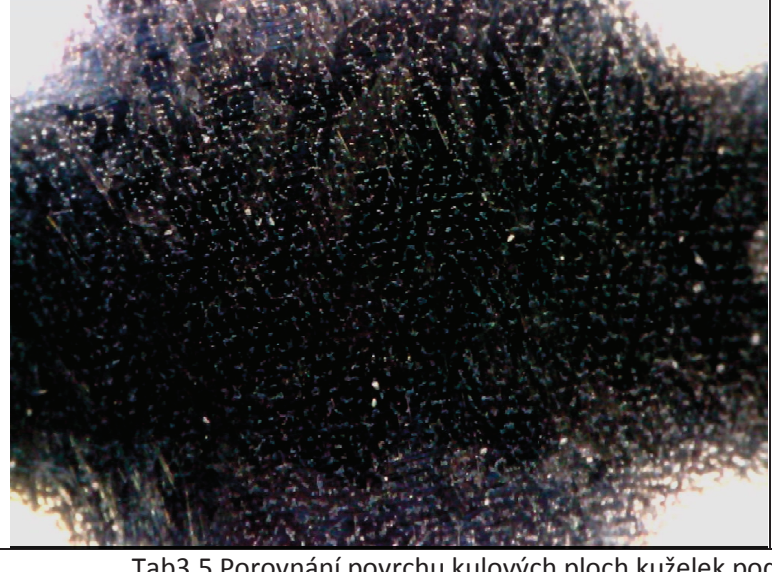

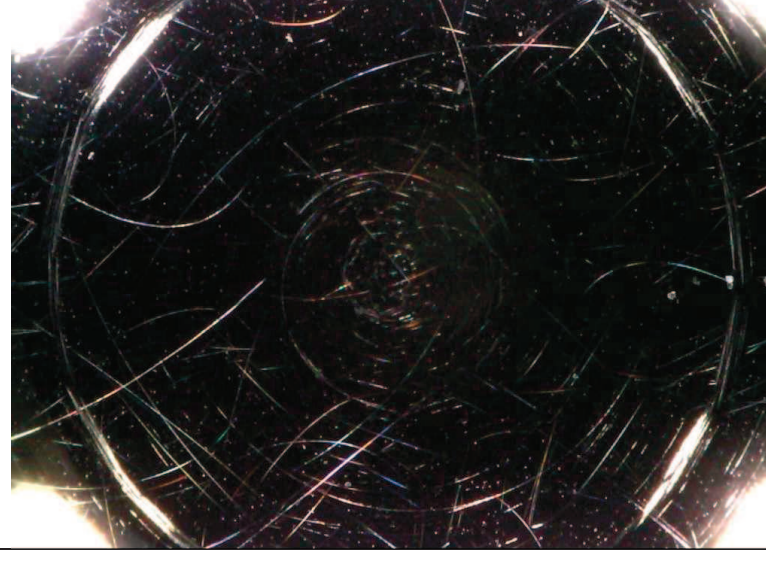

P_Tab6.2.2.Tabulka desek otíraných při 500N s neplanarizovanými kuličkami

K8 (BT) Bez maziva				K2 (M) Bez maziva			
K10 (K) 50N							
K4 (B) 100N				K10 (K) 100N			
K2 (M) 213N				K8 (BT) 213N			




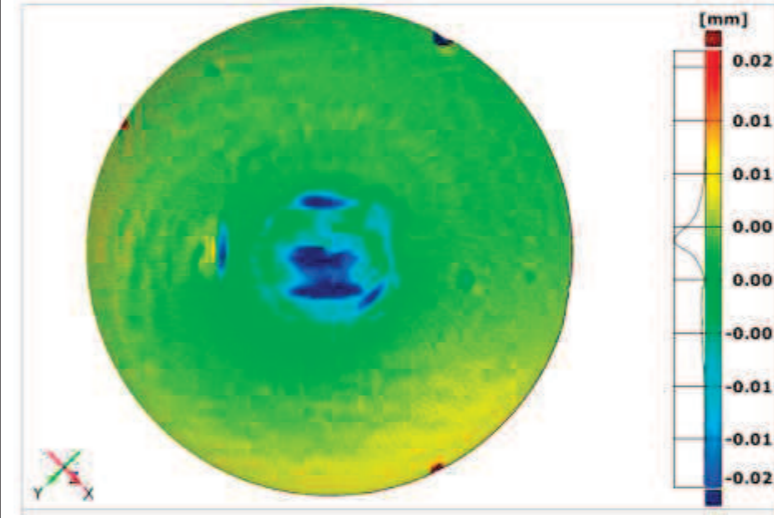
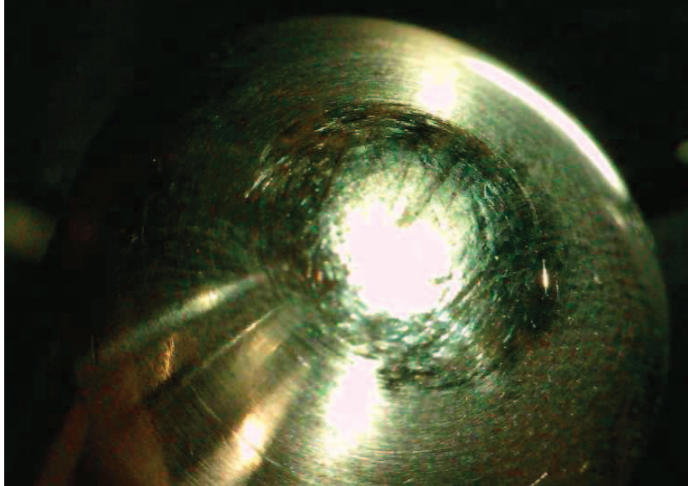

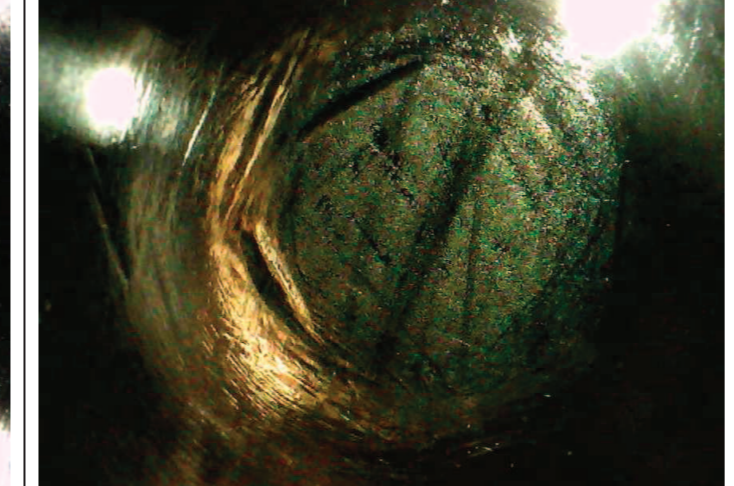
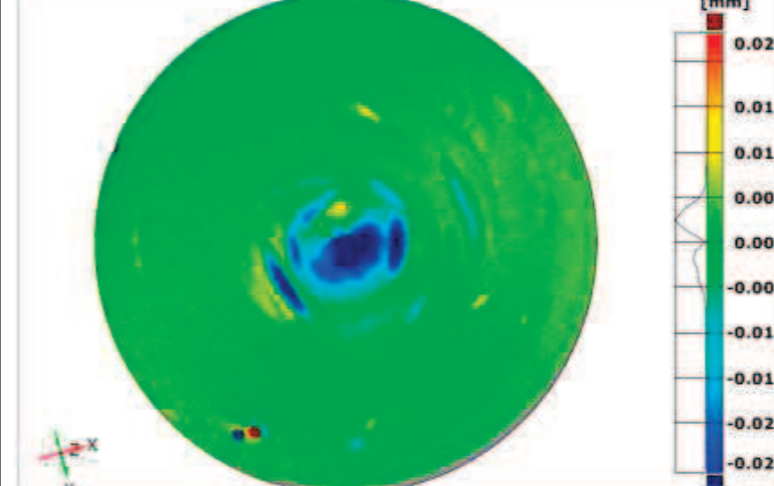

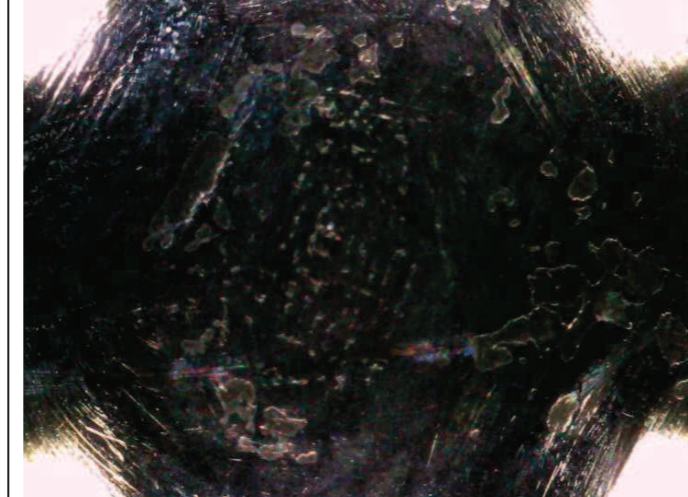
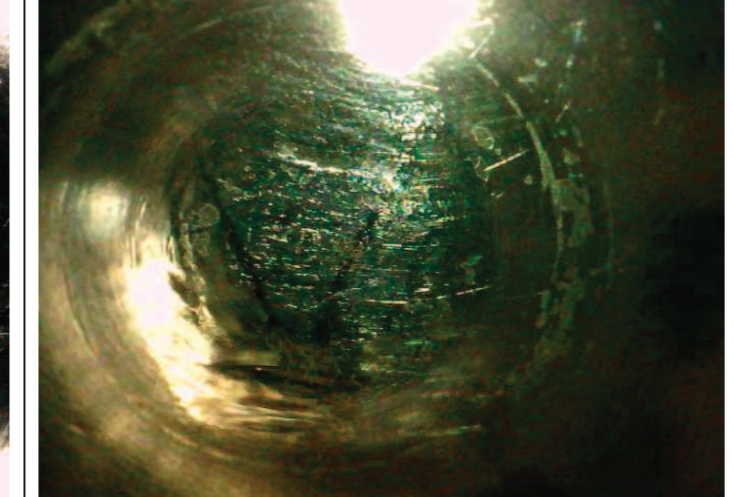



P_Tab6.2.3 Desky otřené při jiné přítláčné síle a desky otřené bez maziva

K1 (M)			
K3 (B)			
K9 (K)			
K7 (BT)			

P_Tab6.2.4 Desky otírané otírané planarizovanými

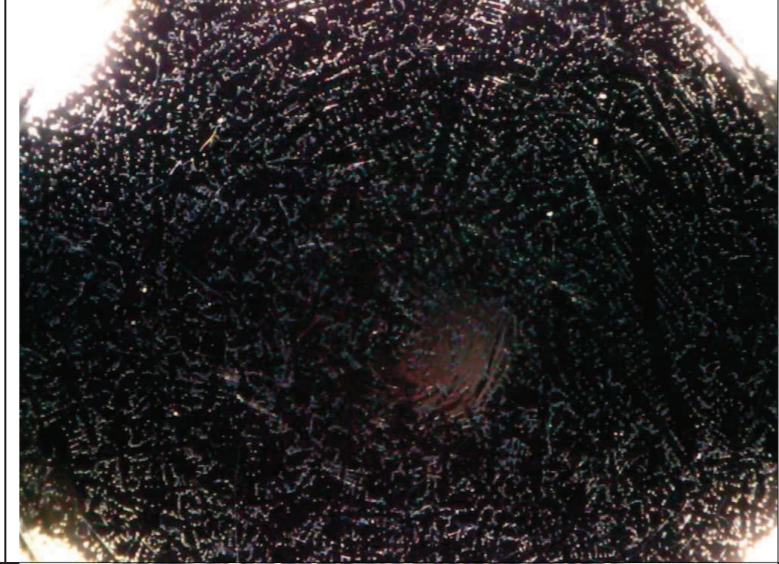

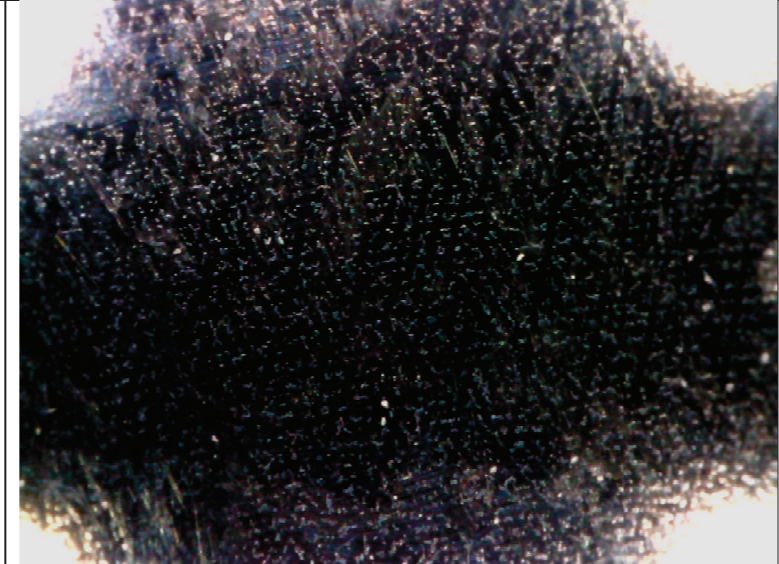
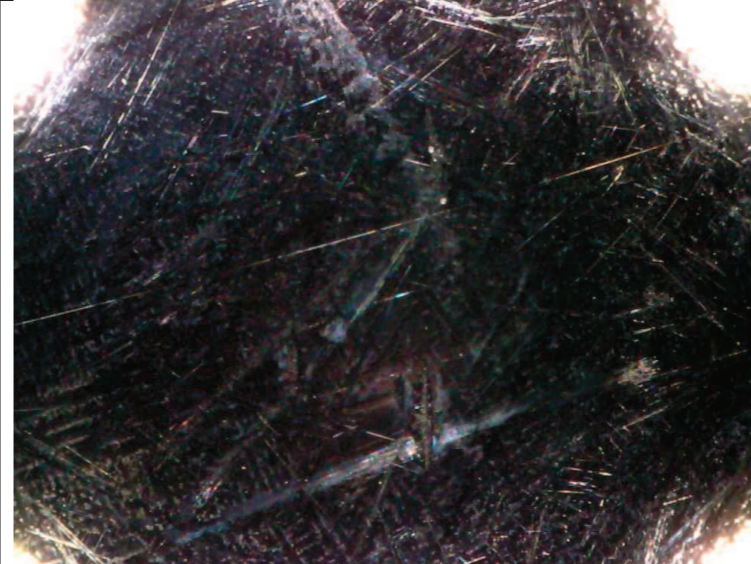
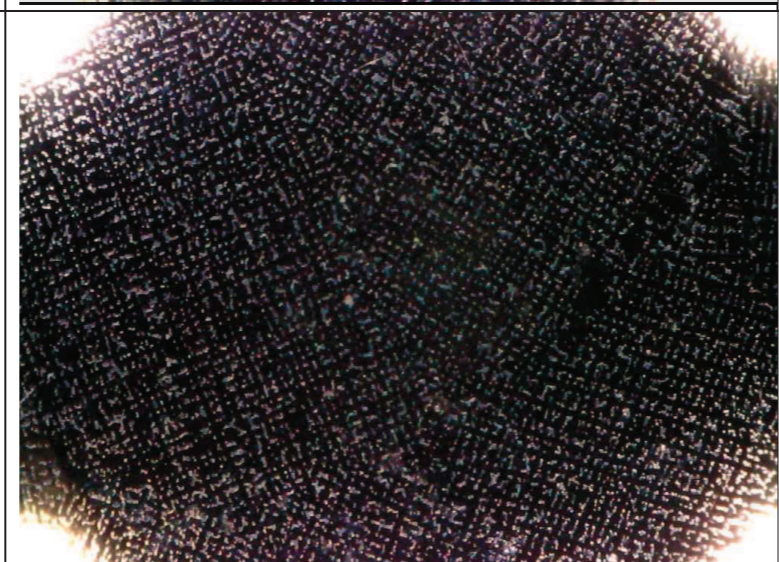

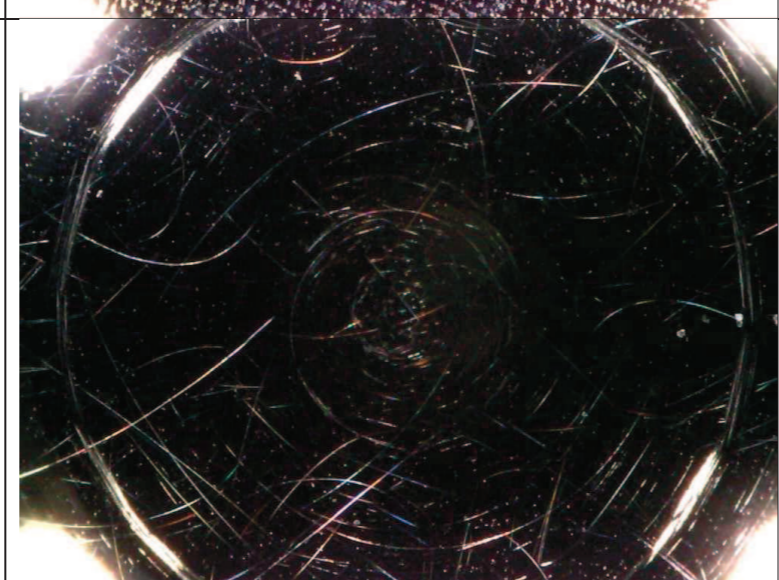

Porovnání pohledu pod mikroskopem před a po otěru					
K6 (MT)			K5 (MT)		
K1 (M)			K7 (BT)		
K3 (B)			K9 (K)		

Tab3.5 Porovnání povrchu kulových ploch kuželek pod mikroskopem před a po otěru

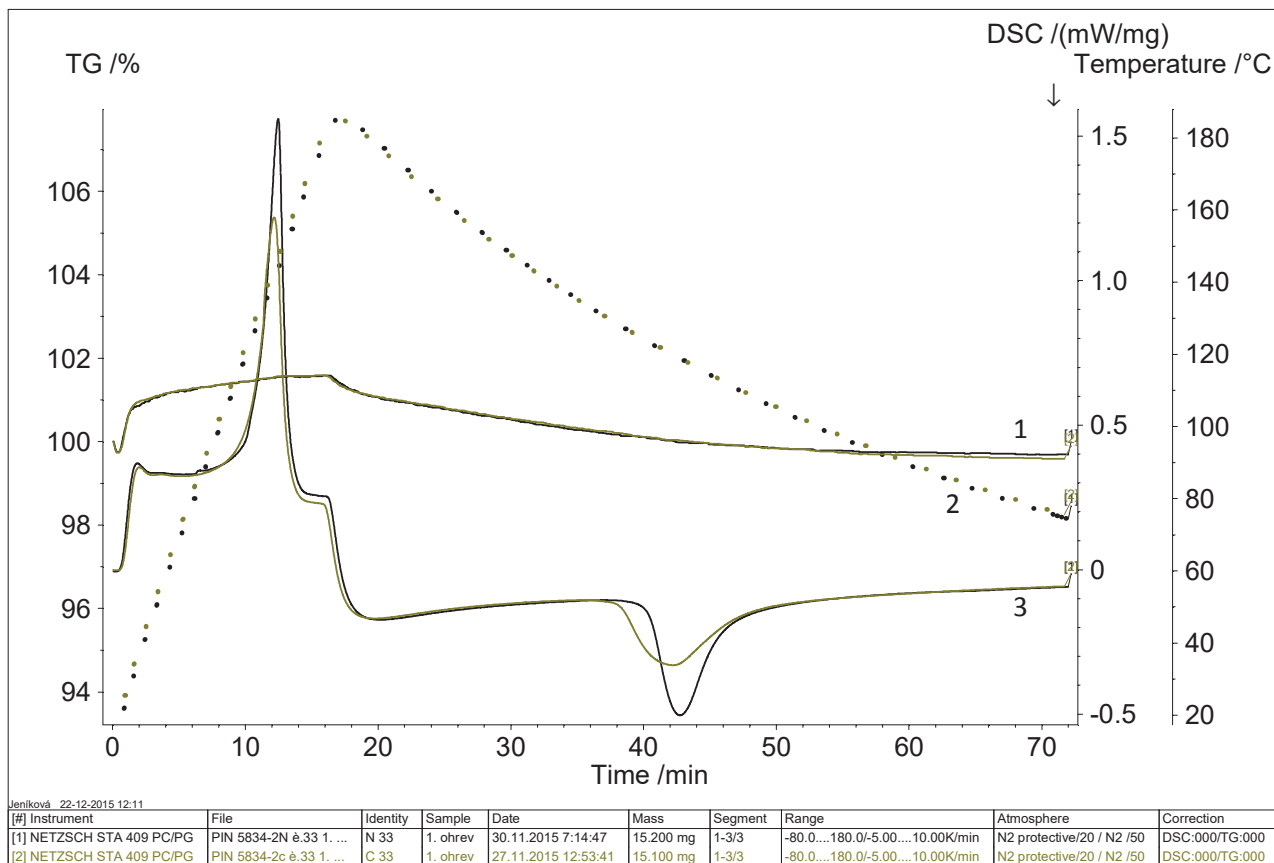
K2 (M)				
K4 (B)				
K8 (BT)				
K10 (K)				

P_Tab6.2.6 Tabulka otřených hlavic bez planarizace

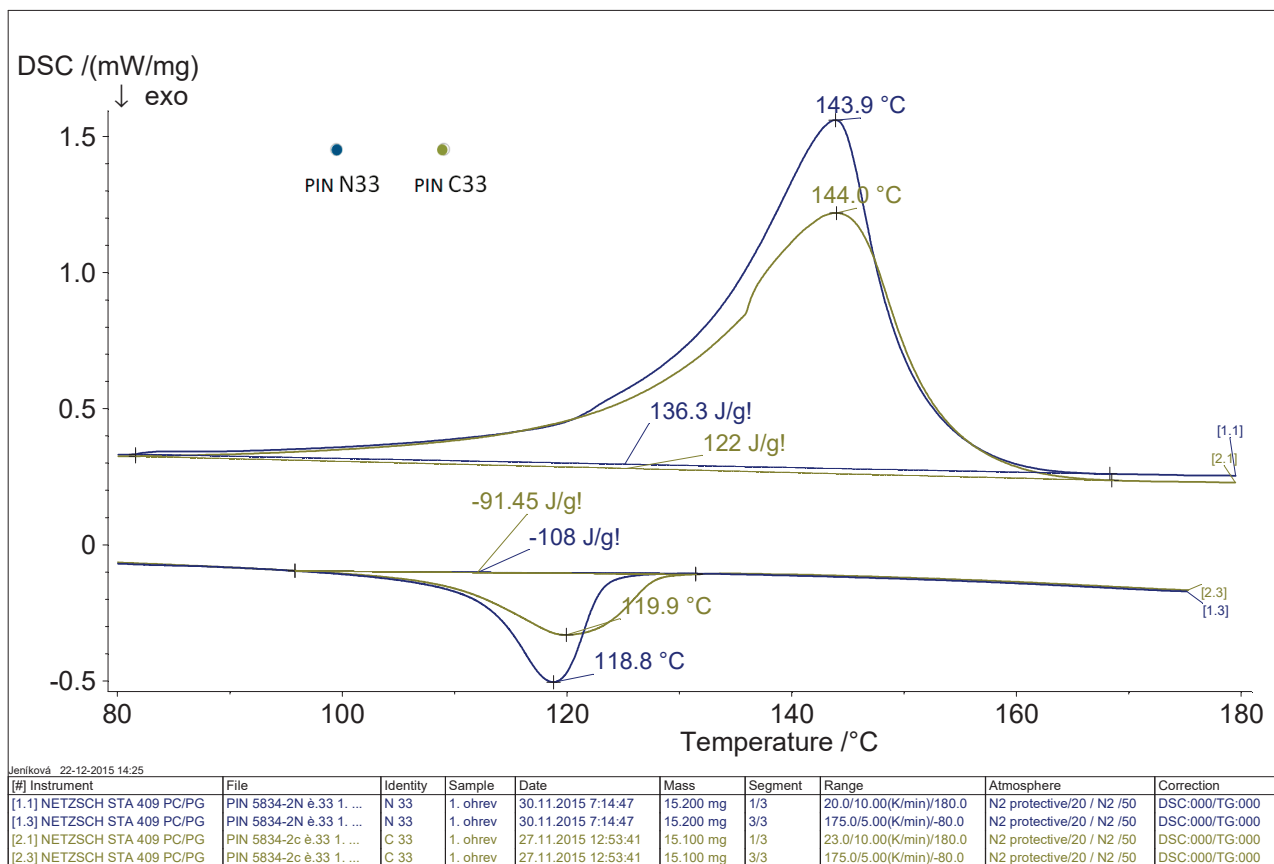
Porovnání vlivu planarizace na strukturu

K1 (M)		
K3 (B)		
K7 (BT)		
K9 (K)		

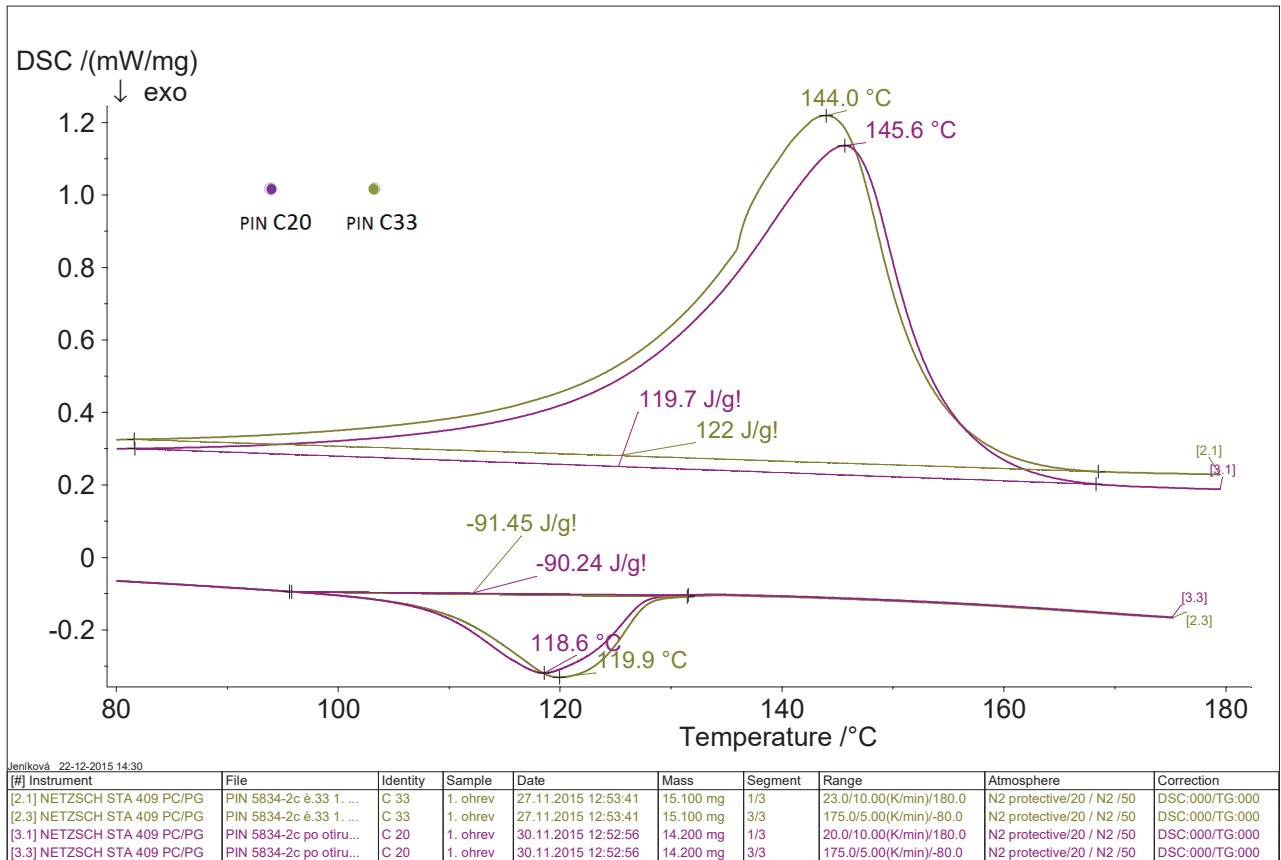
P_Tab6.2.7 Tabulka otřených hlavic



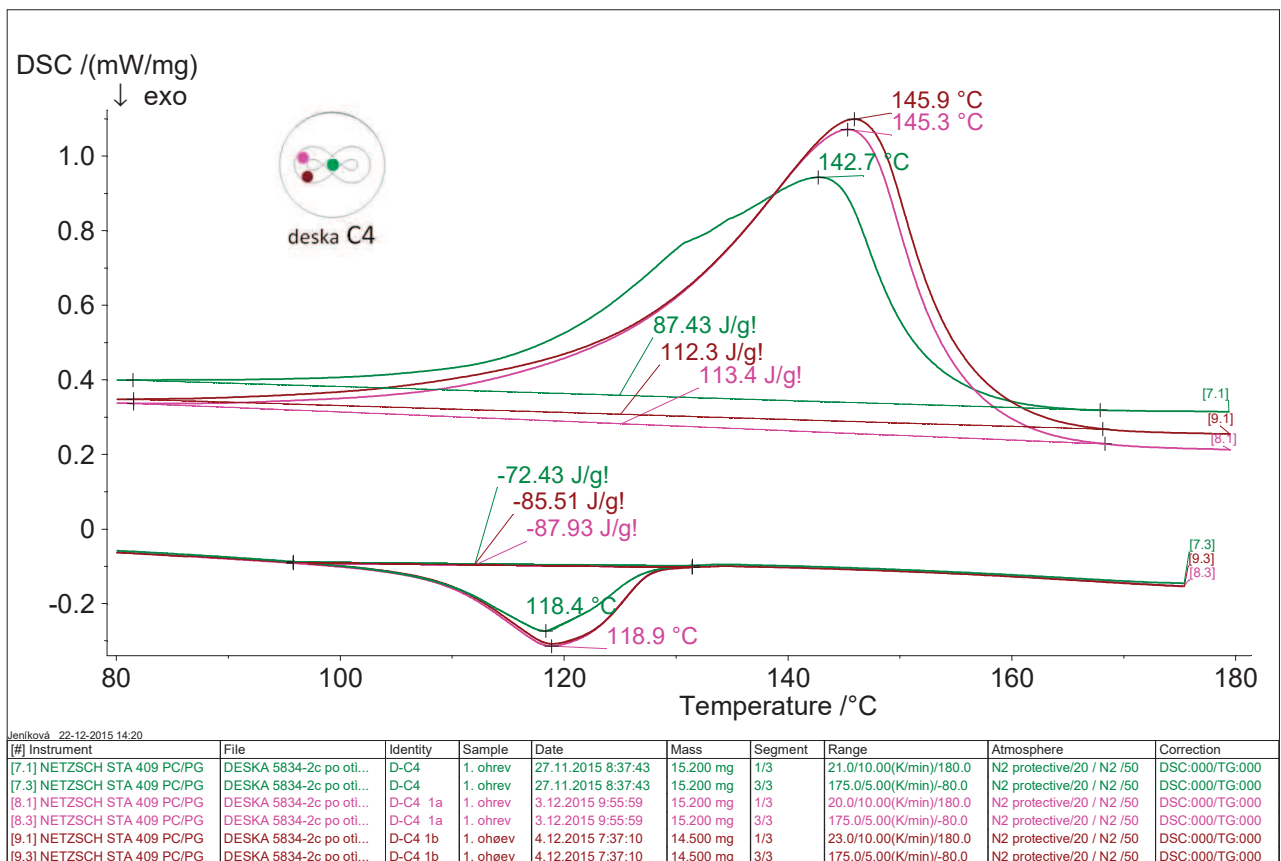
P_Obr8.1.2.x Časový průběh DSC testů. 1-TG; 2-teplota; 3-DSC



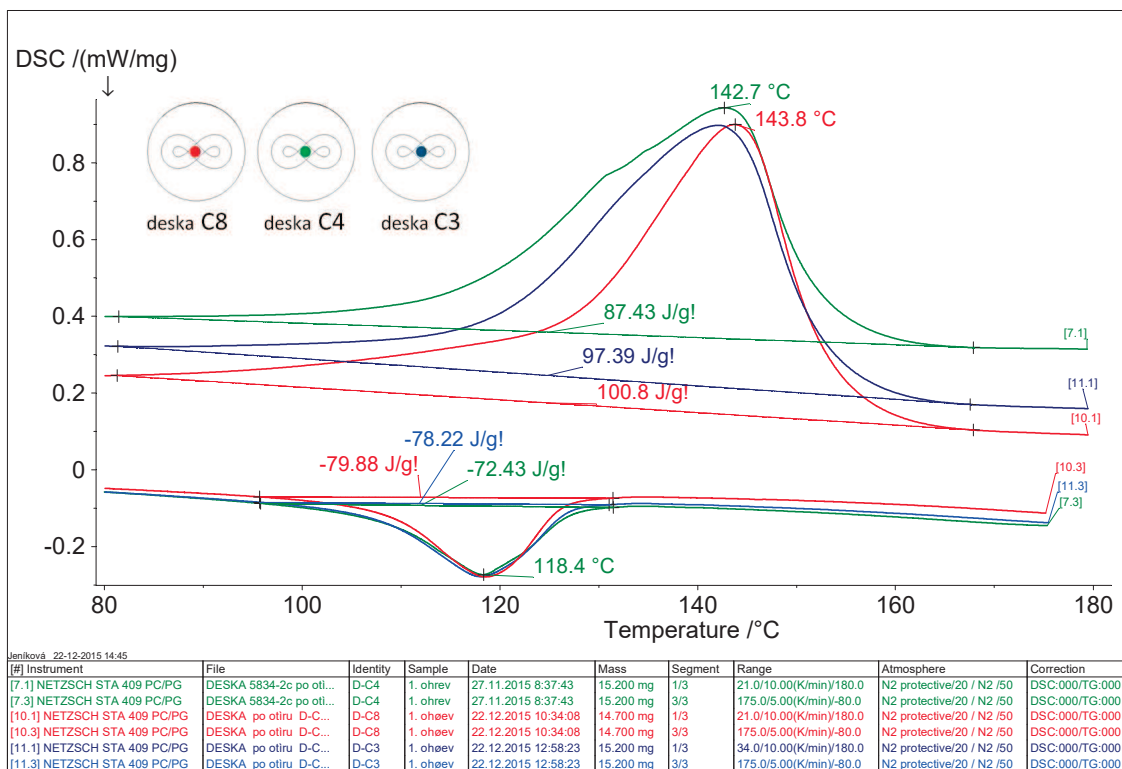
P_Obr8.1.2.x DSC pro válečkový vzorek z crosslingovaného (C33) materiálu a necrosslingovaného (N33).



P_Obr8.1.2.x DSC pro crosslingované vzorky neotřené (C33) a po ořezu (C20).



P_Obr8.1.2.x DSC vzorků z desky C4. Vzorek D-C4 je vyříznut ze středu osmičky, D-C4 1a,b jsou z oblouku osmičky.



P_Obr8.1.2.x DSC pro tři různé crosslingované vzorky z oblasti středu osmičky.